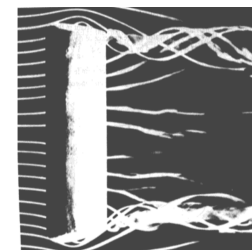


# 空气与气体动力学

张科

回顾：

1.机翼几何(展弦比、根梢比、后掠角、扭转角)、气动参数；



2.翼间涡、下洗、诱导阻力；  $\alpha_{eff} = \alpha - \alpha_i$   $D'_i = L' \sin \alpha_i$   $C_D = C_d + C_{Di}$

3.曲线涡丝；

$$w(y_0) = -\frac{1}{4\pi} \int_{-\frac{b}{2}}^{\frac{b}{2}} \frac{\left(\frac{d\Gamma}{dy}\right) dy}{(y_0 - y)}$$

4.普朗特经典升力线理论；

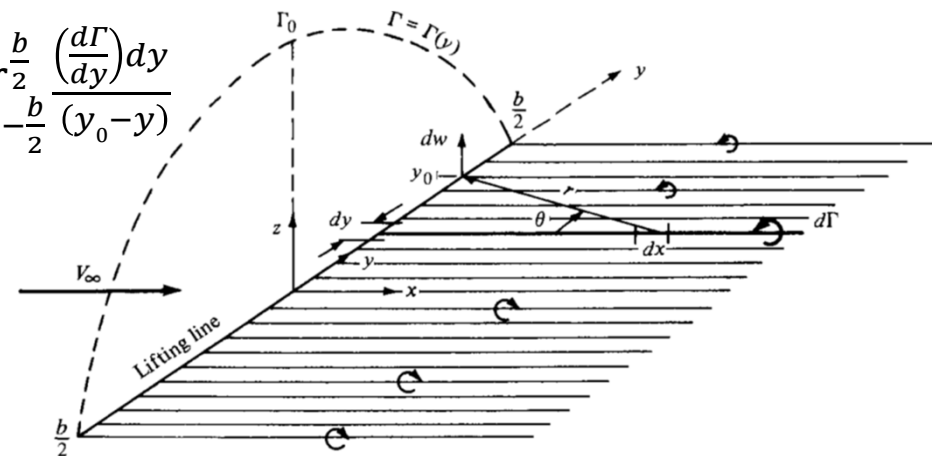
$$\alpha(y_0) = \frac{\Gamma(y_0)}{\pi V_\infty c(y_0)} + \alpha_{L=0} + \frac{1}{4\pi V_\infty} \int_{-\frac{b}{2}}^{\frac{b}{2}} \frac{\left(\frac{d\Gamma}{dy}\right) dy}{(y_0 - y)}$$

5.椭圆升力分布。

$$\Gamma(y) = \Gamma_0 \sqrt{1 - \left(\frac{2y}{b}\right)^2}$$

$$\alpha_i = \frac{C_L}{\pi AR}$$

$$C_{D,i} = \frac{C_L^2}{\pi AR}$$



# 10.4普朗特经典升力线理论 (5.4)

## 4. 椭圆升力分布：

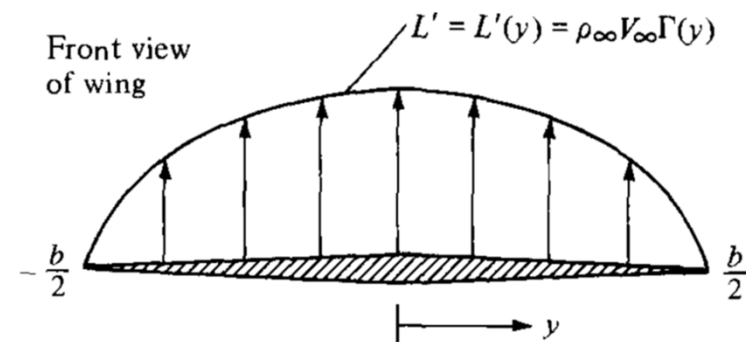
$$\Gamma(y) = \Gamma_0 \sqrt{1 - \left(\frac{2y}{b}\right)^2} \quad \text{环量沿展向呈椭圆变化。}$$

$$w(\theta_0) = -\frac{\Gamma_0}{2b} \quad \alpha_i = -\frac{w}{V_\infty} = \frac{\Gamma_0}{2bV_\infty} \quad \alpha_i = \frac{C_L}{\pi AR}$$

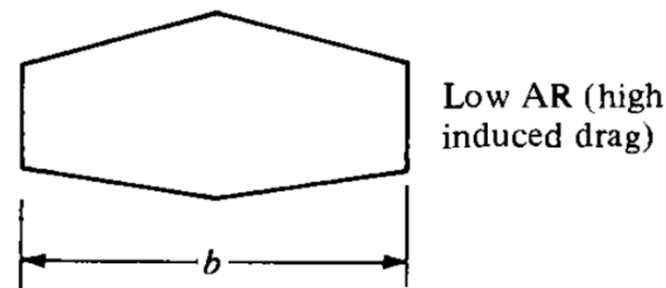
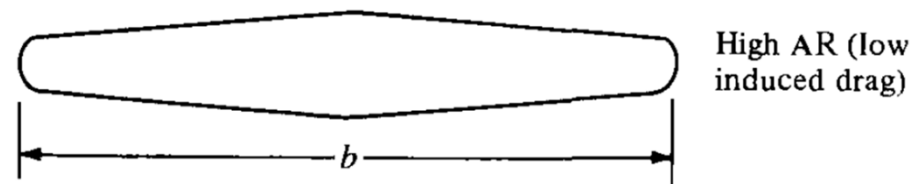
$$C_{D,i} = \frac{C_L^2}{\pi AR} \begin{cases} \text{① } C_{D,i} \propto C_L^2 \text{ 升致阻力} \\ \text{② } C_{D,i} \propto \frac{1}{\pi AR}, \quad AR \uparrow C_{D,i} \downarrow \end{cases}$$

$$C_D = C_d + C_{D,i}$$

$C_L$ 大时 $C_{D,i}$ 占 $C_D$ 比大,  
巡航时一般 $C_{D,i}$ 占 $C_D$ 25%



$$AR = b^2/S$$

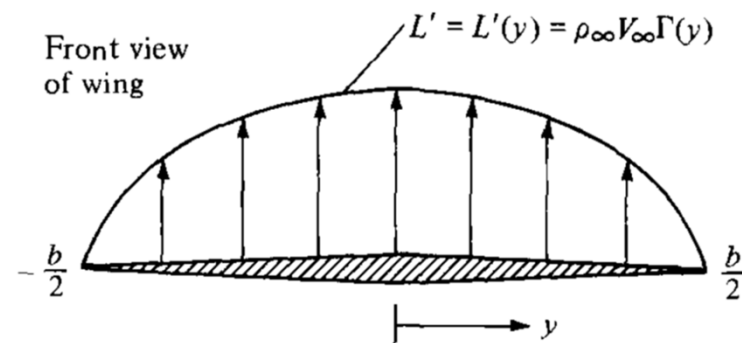


## 10.4 普朗特经典升力线理论 (5.4)

### 4. 椭圆升力分布：

$$\Gamma(y) = \Gamma_0 \sqrt{1 - \left(\frac{2y}{b}\right)^2} \quad \text{环量沿展向呈椭圆变化。}$$

$$w(\theta_0) = -\frac{\Gamma_0}{2b} \quad \alpha_i = -\frac{w}{V_\infty} = \frac{\Gamma_0}{2bV_\infty} \quad \alpha_i = \frac{C_L}{\pi AR} \quad C_{D,i} = \frac{C_L^2}{\pi AR}$$



$\alpha_{eff} = \alpha - \alpha_i$  无几何扭转  $\alpha$  为常数, 椭圆升力分布:  $\alpha_i$  为常数  $\rightarrow \alpha_{eff}$  为常数。

任意翼剖面  $C_l(y) = a_0(\alpha_{eff} - \alpha_{L=0})$  无气动扭转  $a_0$ ,  $\alpha_{L=0}$  为常数。

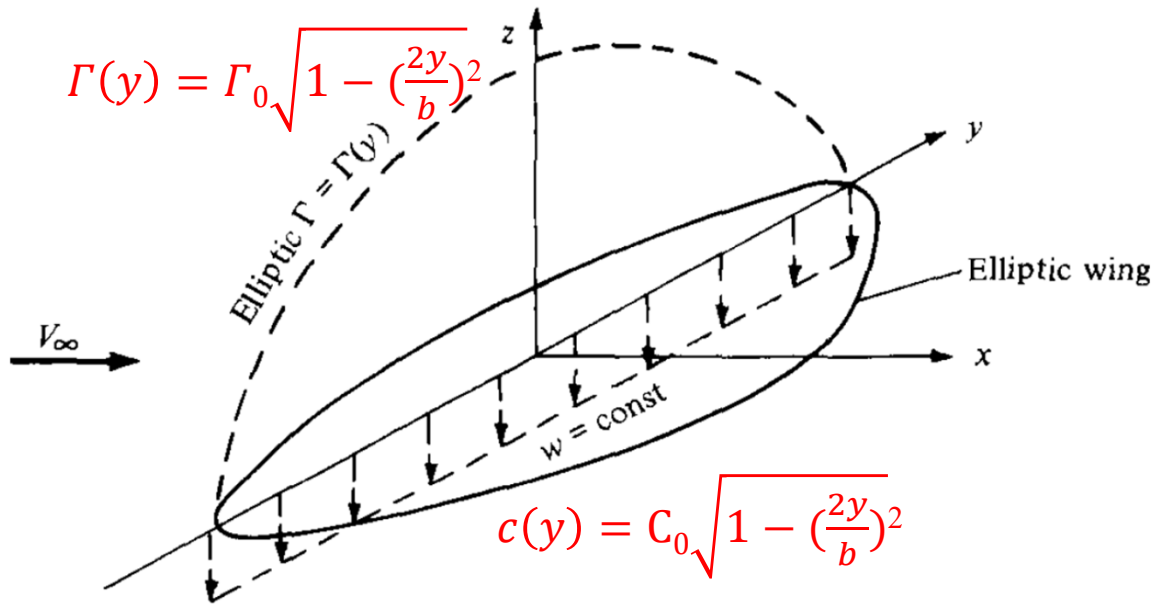
→ 任意翼剖面  $C_l(y) = \text{常数}$

$$C_l(y) = \frac{L'(y)}{\frac{1}{2}\rho V_\infty^2 c(y)} = \frac{\rho V_\infty \Gamma(y)}{\frac{1}{2}\rho V_\infty^2 c(y)} = \text{常数} \rightarrow c(y) = C_0 \sqrt{1 - \left(\frac{2y}{b}\right)^2}$$

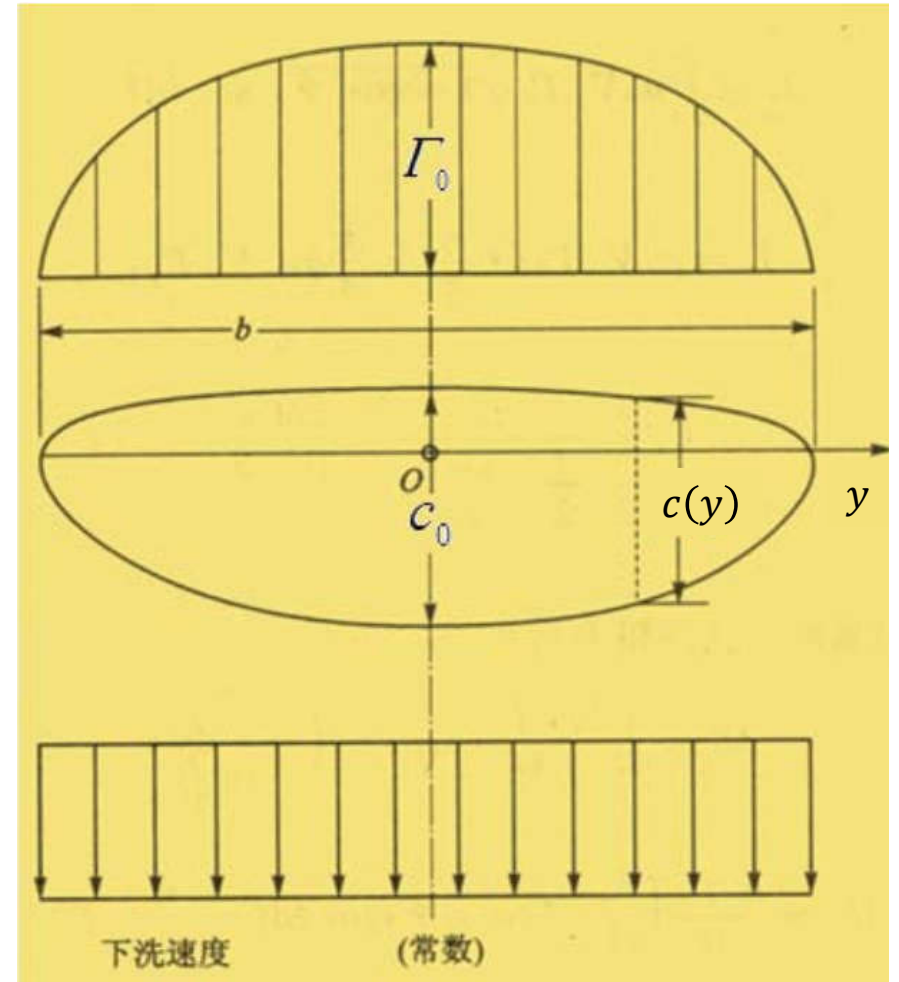
无几何气动扭转时, 椭圆环量分布机翼, 弦长沿展向呈椭圆分布。

## 10.4 普朗特经典升力线理论 (5.4)

### 4. 椭圆升力分布：



椭圆机翼有最佳升阻比，但工艺复杂，常用矩形、梯形翼。



## 10.4 普朗特经典升力线理论 (5.4)

### 5. 一般升力分布：

椭圆升力分布： $\Gamma(\theta) = \Gamma_0 \sin \theta$  ( $y = -\frac{b}{2} \cos \theta, 0 \leq \theta \leq \pi$ )

一般升力分布： $\Gamma(\theta) = 2bV_\infty \sum_{n=1}^N A_n \sin n\theta$

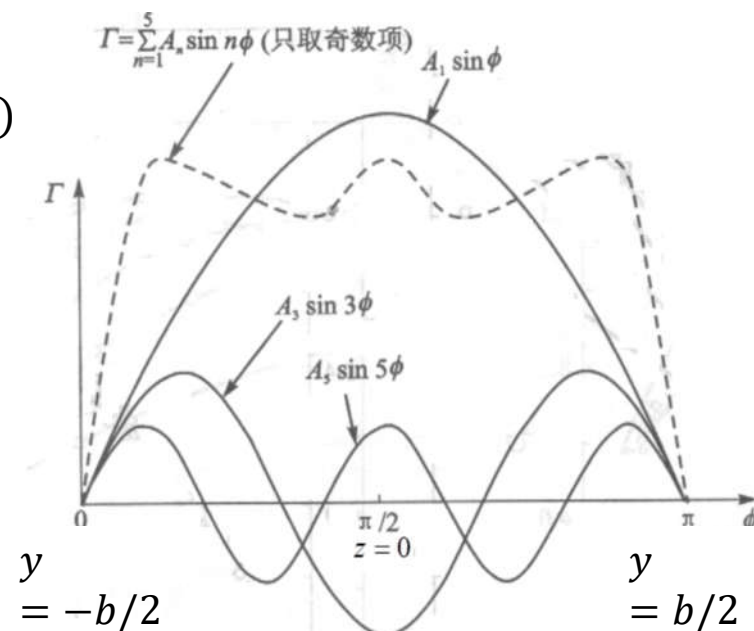
任意有限翼展机翼沿展向环量分布

$$\alpha(y_0) = \frac{\Gamma(y_0)}{\pi V_\infty c(y_0)} + \alpha_{L=0} + \frac{1}{4\pi V_\infty} \int_{-\frac{b}{2}}^{\frac{b}{2}} \frac{\left(\frac{d\Gamma}{dy}\right) dy}{(y_0 - y)}$$

普朗特升力线理论基本方程  $\rightarrow A_n$

$\rightarrow \alpha_i, C_L, C_{D,i}$  等气动特性

$$\Gamma(y) = \Gamma_0 \sqrt{1 - \left(\frac{2y}{b}\right)^2}$$



## 10.4普朗特经典升力线理论 (5.4)

### 5. 一般升力分布：

一般升力分布： $\Gamma(\theta) = 2bV_\infty \sum_{n=1}^N A_n \sin n\theta$  求 $A_n$

$$\alpha(y_0) = \frac{\Gamma(y_0)}{\pi V_\infty c(y_0)} + \alpha_{L=0} + \frac{1}{4\pi V_\infty} \int_{-\frac{b}{2}}^{\frac{b}{2}} \frac{\left(\frac{d\Gamma}{dy}\right) dy}{(y_0 - y)}$$

$$\frac{d\Gamma}{dy} = \frac{d\Gamma}{d\theta} \frac{d\theta}{dy} = 2bV_\infty \sum_{n=1}^N nA_n \cos n\theta \frac{d\theta}{dy} \quad \text{关于}\pi/2\text{对称} \rightarrow \text{仅含奇数项} A_1 A_n \dots$$

$$\rightarrow \alpha(\theta_0) = \frac{2b}{\pi c(\theta_0)} \sum_{n=1}^N A_n \sin n\theta + \alpha_{L=0}(\theta_0) + \sum_{n=1}^N nA_n \frac{\sin n\theta_0}{\sin \theta_0}$$

$n$ 个 $\theta_0$ 位置，列 $n$ 个方程，联立 $\rightarrow A_n$

## 10.4 普朗特经典升力线理论 (5.4)

### 5. 一般升力分布：

一般升力分布： $\Gamma(\theta) = 2bV_\infty \sum_{n=1}^N A_n \sin n\theta$

$$C_L = \frac{L}{\frac{1}{2}\rho V_\infty^2 S} = \frac{2}{V_\infty S} \int_{-b/2}^{b/2} \Gamma(y) dy = A_1 \pi \frac{b^2}{S} = \boxed{A_1 \pi AR} \quad C_L \text{ 仅与 } A_1 \text{ 有关。}$$

$$\left. \begin{aligned} C_{D,i} &= \frac{2}{V_\infty S} \int_{-b/2}^{b/2} \Gamma(y) \alpha_i(y) dy \\ \alpha_i(y_0) &= \frac{1}{4\pi V_\infty} \int_{-\frac{b}{2}}^{\frac{b}{2}} \frac{\left(\frac{d\Gamma}{dy}\right) dy}{(y_0 - y)} = \sum_{n=1}^N n A_n \frac{\sin n\theta_0}{\sin \theta_0} \end{aligned} \right\} \begin{aligned} C_{D,i} &= \frac{2b^2}{S} \left( \sum_{n=1}^N n A_n^2 \right) \frac{\pi}{2} \\ &= \pi AR \left( \sum_{n=1}^N n A_n^2 \right) \\ &= \boxed{\pi A R A_1^2} \left[ 1 + \sum_{n=1}^N n \left( \frac{A_n}{A_1} \right)^2 \right] \end{aligned}$$

→  $C_{D,i} = \frac{C_L^2}{\pi AR} (1 + \delta) \quad \delta = \sum_{n=1}^N n \left( \frac{A_n}{A_1} \right)^2 \quad \delta \geq 0 \text{ 诱导阻力修正因子}$

$$\boxed{C_{D,i} = \frac{C_L^2}{\pi e AR}} \quad (e = \frac{1}{1+\delta}, \text{ 机翼有效系数, } e \leq 1; \text{ 椭圆 } \delta = 0, \quad e = 1)$$



## 10.4 普朗特经典升力线理论 (5.4)

$$\alpha_i = \frac{C_L}{\pi AR}$$

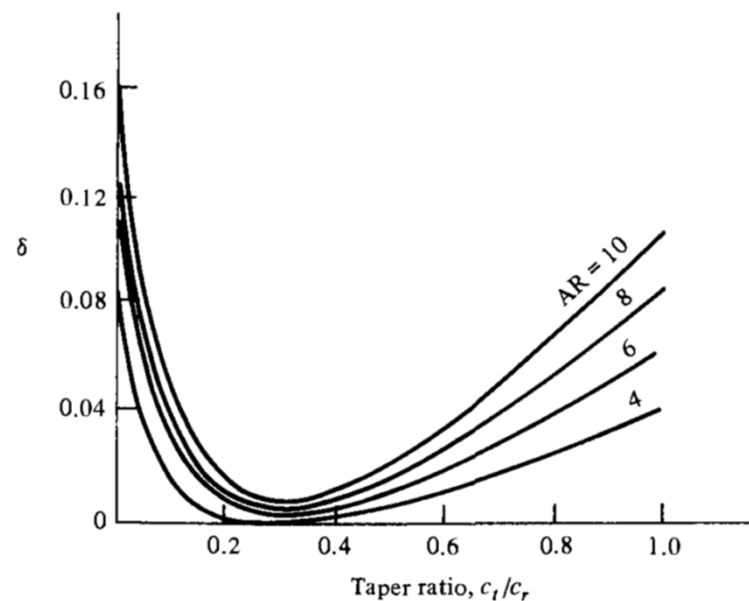
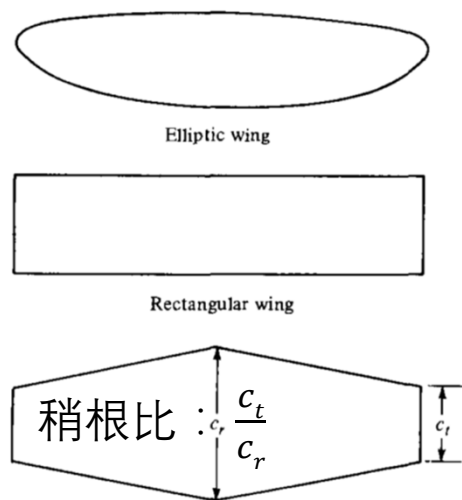
$$C_{D,i} = \frac{C_L^2}{\pi AR}$$

### 5. 一般升力分布：

一般升力分布： $\Gamma(\theta) = 2bV_\infty \sum_{n=1}^N A_n \sin n\theta$

$$C_{D,i} = \frac{C_L^2}{\pi AR} (1 + \delta) \quad \delta = \sum_{n=1}^N n \left( \frac{A_n}{A_1} \right)^2 \quad \delta \geq 0 \text{ 诱导阻力修正因子}$$

同等升力下，椭圆升力分布 $C_{D,i}$ 最小。椭圆机翼有最佳升阻比，但加工复杂。用矩形、梯形机翼代替。



## 10.4 普朗特经典升力线理论 (5.4)

6. 展弦比影响：

$$C_{D,i} = \frac{C_L^2}{\pi AR}(1+\delta) \quad AR = 6 \sim 22 \text{ 时, } AR \text{ 对 } C_{D,i} \text{ 的影响大于 } \delta (\delta \text{ 影响} < 10\%)。$$

$C_{D,i} \propto \frac{1}{AR}$  为普朗特升力线理论重要贡献！

$$C_D = C_d + \frac{C_L^2}{\pi e AR}$$

相同翼型，不同  $AR$ ：  
 $e$  变化小， $C_d$  变化小

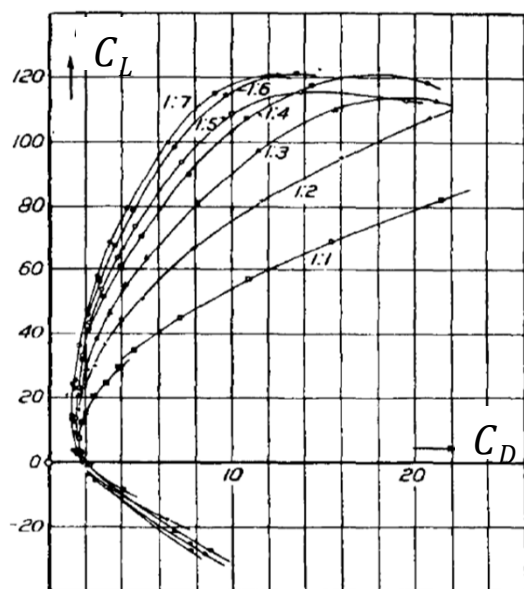
$$\begin{cases} C_{D1} = C_d + \frac{C_L^2}{\pi e AR_1} \\ C_{D2} = C_d + \frac{C_L^2}{\pi e AR_2} \end{cases} \quad \text{若 } C_L \text{ 相同} \rightarrow C_{D2} = C_{D1} + \frac{C_L^2}{\pi e_2} \left( \frac{1}{AR_1} - \frac{1}{AR_2} \right)$$

# 10.4普朗特经典升力线理论 (5.4)

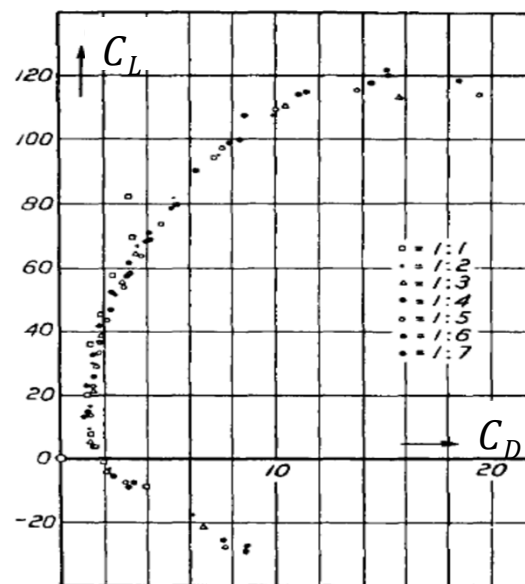
## 6. 展弦比影响：

相同翼型，不同 $AR$ ：  
 $e$ 变化小， $C_d$ 变化小

$$\begin{cases} C_{D1} = C_d + \frac{C_L^2}{\pi e AR_1} \\ C_{D2} = C_d + \frac{C_L^2}{\pi e AR_2} \end{cases} \text{若 } C_L \text{ 相同} \rightarrow C_{D2} = C_{D1} + \frac{C_L^2}{\pi e_2} \left( \frac{1}{AR_1} - \frac{1}{AR_2} \right)$$



矩形机翼，普朗特1921



不同 $AR$ 换算到 $AR = 5$

# 10.4普朗特经典升力线理论 (5.4)

## 7. 升力线斜率：

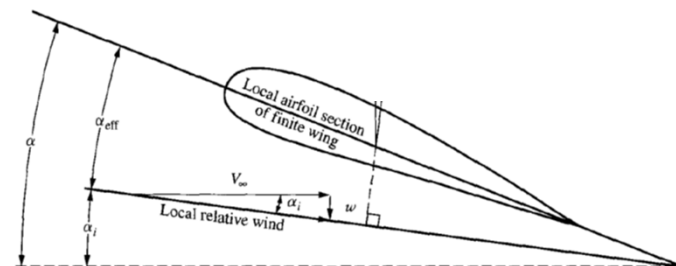
产生相同升力，机翼 $\alpha_1 >$  翼型 $\alpha_2$ 。

翼剖面 $\alpha_0, \alpha_L = 0$ ：

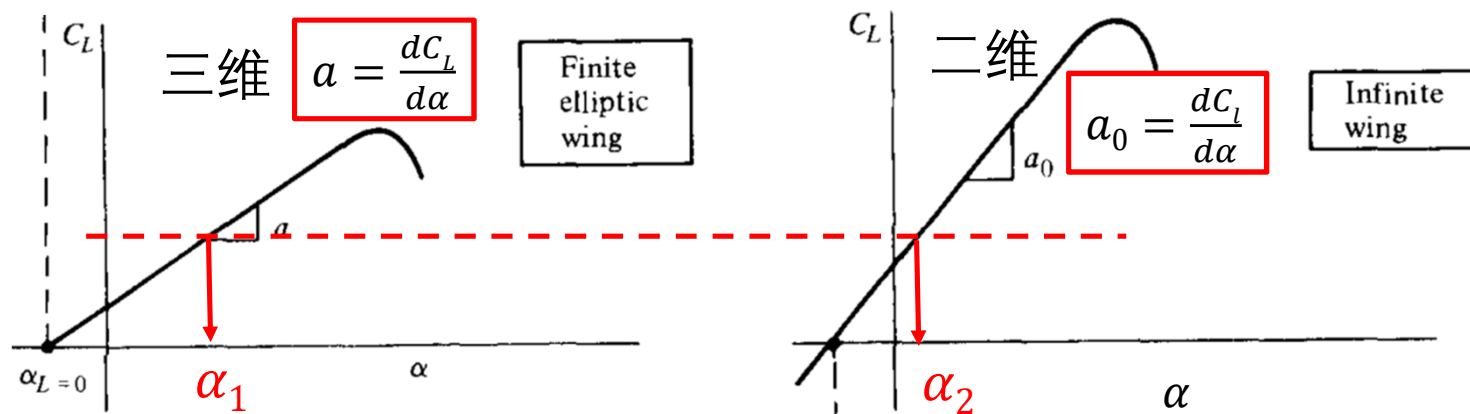
三维机翼： $\alpha_{eff} = \alpha_1 - \alpha_i$       二维翼型： $\alpha_2$

$$C_L = a_0(\alpha_1 - \alpha_i - \alpha_L = 0) \quad C_l = a_0(\alpha_2 - \alpha_L = 0)$$

→  $\alpha_1 - \alpha_i = \alpha_2, \alpha_1 > \alpha_2$   $a < a_0$ 有限翼展机翼升力线斜率减小！



$$\text{椭圆升力分布：} \alpha_i = \frac{C_L}{\pi AR}$$



## 10.4 普朗特经典升力线理论 (5.4)

7. 升力线斜率： $\alpha_{L=0}$  不变 ??

$$C_L = a_0(\alpha - \alpha_i - \alpha_{L=0}) \quad C_L = a(\alpha - \alpha_{L=0})$$

椭圆升力分布： $\alpha_i = \frac{C_L}{\pi AR}$

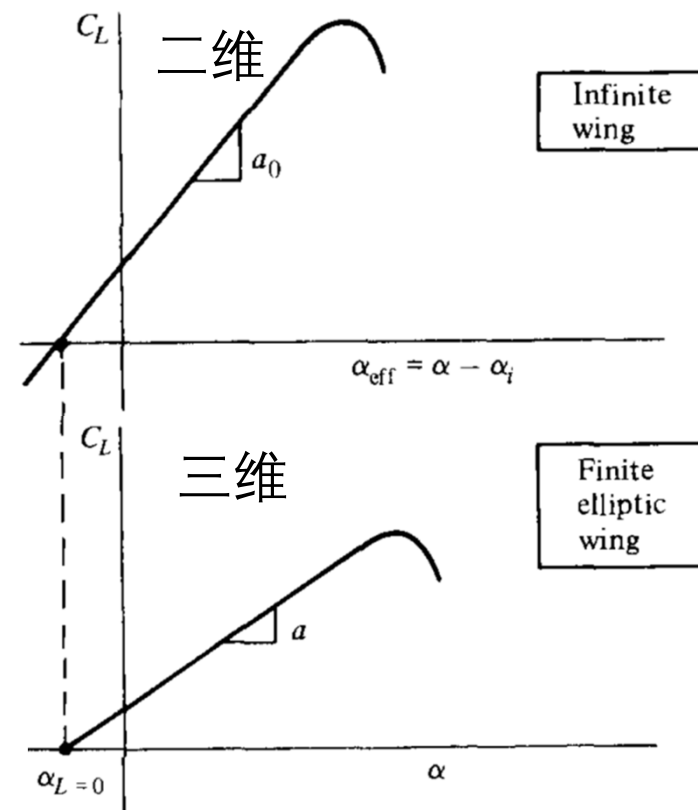
→  $C_L = a_0(\alpha - \frac{C_L}{\pi AR} - \alpha_{L=0})$

$$C_L(1 + \frac{a_0}{\pi AR}) = a_0(\alpha - \alpha_{L=0})$$

$$C_L = \frac{a_0}{1 + \frac{a_0}{\pi AR}} (\alpha - \alpha_{L=0})$$

椭圆升力分布： $a = \frac{dC_L}{d\alpha} = \frac{a_0}{1 + \frac{a_0}{\pi AR}}$  椭圆升力分布  $a$  最大。

一般升力分布： $a = \frac{dC_L}{d\alpha} = \frac{a_0}{1 + \frac{a_0}{\pi AR}(1+\tau)}$   $\tau > 0, \tau \approx 0.05 \sim 0.25$



$C_l = 0$  时  $w = 0$   
 $\alpha_i = C_{D,i} = 0$

## 10.4普朗特经典升力线理论 (5.4)

### 7. 升力线斜率：

$$C_L = a(\alpha - \alpha_{L=0}) \quad a = \frac{a_0}{1 + \frac{a_0}{\pi AR}(1 + \tau)}$$

$$C_{D,i} = \frac{C_L^2}{\pi AR}(1 + \delta) \quad \text{机翼气动特性计算！}$$

$$\alpha - \alpha_{L=0} = \frac{C_L}{a_0} + \frac{C_L}{\pi AR}(1 + \tau) \quad \text{平均下洗角}$$

三维机翼气动特性从二维翼型修正得到， $a_0 \rightarrow a \rightarrow C_L \rightarrow C_{D,i}$

$\tau$ 、 $\delta$ 为非椭圆机翼对椭圆机翼气动力修正系数

平面形状	稍根比	$\tau$	$\delta$
椭圆形	/	0	0
矩形	1	0.17	0.049
梯形	3/4	0.10	0.026
梯形	1/4	0.01	0.01
菱形(三角形)	0	0.17	0.141

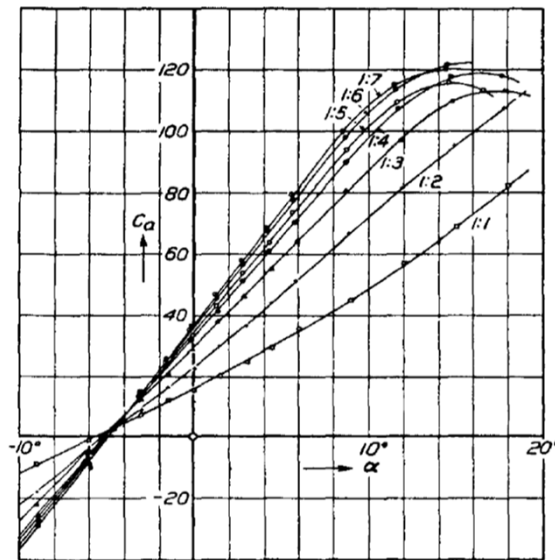
## 10.4 普朗特经典升力线理论 (5.4)

### 7. 升力线斜率：

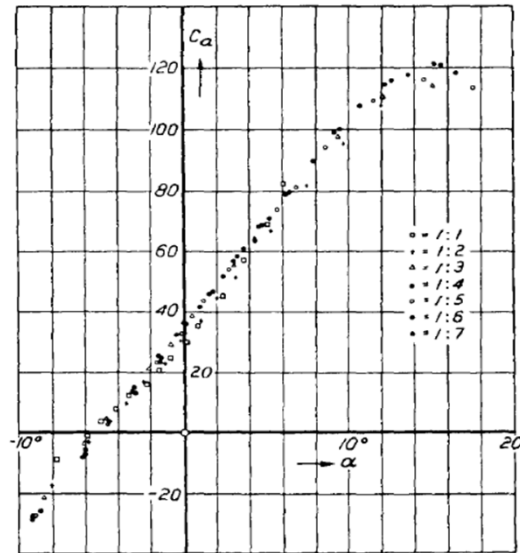
相同翼型，不同  $AR$ ：

$$\begin{cases} \alpha_1 - \alpha_L = 0 = \frac{C_L}{a_0} + \frac{C_L}{\pi AR_1} (1 + \tau) \\ \alpha_2 - \alpha_L = 0 = \frac{C_L}{a_0} + \frac{C_L}{\pi AR_2} (1 + \tau) \end{cases}$$

$$C_L \text{ 相同} \rightarrow \alpha_2 - \alpha_1 = \frac{C_L}{\pi} (1 + \tau) \left( \frac{1}{AR_2} - \frac{1}{AR_1} \right)$$



矩形机翼，普朗特1921



不同  $AR$  换算到  $AR = 5$

## 10.4普朗特经典升力线理论 (5.4)

例1 :  $AR=8$ ,  $\frac{c_t}{c_r}=0.8$ , 薄对称翼( $\tau = \delta = 0.055$ ), 求 $\alpha = 5^\circ$ 时 $C_L$ ,  $C_{D,i}$ 。

解 : 对称 :  $\alpha_{L=0} = 0$  薄翼 :  $a_0 = 2\pi$

$$C_L = a(\alpha - \alpha_{L=0})$$

$$a = \frac{a_0}{1 + \frac{a_0}{\pi AR}(1 + \tau)}$$

$$C_L = a(\alpha - \alpha_{L=0})$$

$$C_{D,i} = \frac{C_L^2}{\pi AR}(1 + \delta)$$

$$a = \frac{a_0}{1 + \frac{a_0}{\pi AR}(1 + \tau)} = \frac{2\pi}{1 + \frac{2\pi}{8\pi}(1 + 0.055)} = 4.97 \text{ rad}^{-1}$$

公式中 $a_0$ 单位用 $1/\text{rad}$  !

$$C_L = a(\alpha - \alpha_{L=0}) = 4.97 \times \frac{5}{180} \pi = 0.4335$$

$$C_{D,i} = \frac{C_L^2}{\pi AR}(1 + \delta) = \frac{0.4335^2}{8\pi}(1 + 0.055) = 0.00789$$



## 10.4普朗特经典升力线理论 (5.4)

例2：翼型 $\alpha_{L=0} = -2^\circ$ ， $a_0=0.11/^\circ$ ，机翼 $AR=7.96$ ， $\tau=0.04$ ， $C_L=0.21$ ，求 $\alpha$ 。

解：
$$a = \frac{a_0}{1 + \frac{a_0}{\pi AR}(1+\tau)} = \frac{5.73}{1 + \frac{5.73}{7.96\pi}(1+0.04)} = 4.626 \text{ rad}^{-1}$$
$$= 4.626 \times \frac{1}{180/\pi} = 0.0808 1/^\circ$$

公式中 $a_0$ 单位用 $1/\text{rad}$ ！

$$C_L = a(\alpha - \alpha_{L=0})$$

$$a = \frac{a_0}{1 + \frac{a_0}{\pi AR}(1+\tau)}$$

$$a_0 = 0.1 1/^\circ = 0.1 \times \frac{1}{\pi/180} = 5.73 \text{ rad}^{-1}$$

$$C_L = a(\alpha - \alpha_{L=0}) = 0.0808(\alpha + 2^\circ) = 0.21$$

➡  $\alpha = 0.6^\circ$

## 10.4普朗特经典升力线理论 (5.4)

例3 :  $AR = 6$ ,  $\tau = \delta = 0.055$ ,  $\alpha_{L=0} = -2^\circ$ ,  $\alpha = 3.4^\circ$ ,  $C_{D,i} = 0.01$ ,  
求同 $\alpha$ 下,  $AR = 10$ ,  $\delta = 0.105$ 时 $C_{D,i}$ 。

$$\text{解 : } C_{D,i} = \frac{C_L^2}{\pi AR}(1+\delta) \quad C_L = ? \quad C_L = a(\alpha - \alpha_{L=0}) \quad a = \frac{a_0}{1 + \frac{a_0}{\pi AR}(1+\tau)}$$

$$C_{D,i} \rightarrow C_L \rightarrow a \rightarrow a_0; \quad AR \rightarrow a \rightarrow C_L \rightarrow C_{D,i}$$

$$AR = 6 \text{ 时: } C_{D,i} = \frac{C_L^2}{\pi AR}(1+\delta) = 0.01 \rightarrow \frac{C_L^2}{6\pi}(1+0.055) = 0.01 \rightarrow C_L = 0.423$$

$$\left. \begin{aligned} a &= \frac{C_L}{(\alpha - \alpha_{L=0})} = \frac{0.423}{3.4 + 2} = 0.0781^\circ = 4.485 \text{ rad}^{-1} \\ a &= \frac{a_0}{1 + \frac{a_0}{\pi AR}(1+\tau)} \end{aligned} \right\} \rightarrow a_0 = 5.989 \text{ rad}^{-1}$$

## 10.4普朗特经典升力线理论 (5.4)

例3 :  $AR = 6$ ,  $\tau = \delta = 0.055$ ,  $\alpha_{L=0} = -2^\circ$ ,  $\alpha = 3.4^\circ$ ,  $C_{D,i} = 0.01$ ,  
求同 $\alpha$ 下,  $AR = 10$ ,  $\delta = 0.105$ 时 $C_{D,i}$ 。

解 :  $AR = 10$ 时:  $a = \frac{a_0}{1 + \frac{a_0}{\pi AR}(1 + \tau)} = \frac{5.989}{1 + \frac{5.989}{10\pi}(1 + 0.105)} = 4.95 \text{ rad}^{-1} = 0.086^\circ$

$$C_L = a(\alpha - \alpha_{L=0}) = 0.086(3.4 + 2) = 0.464$$

$$C_{D,i} = \frac{C_L^2}{\pi AR}(1 + \delta) = \frac{0.464^2}{10\pi}(1 + 0.105) = 0.0076$$

$$C_L = a(\alpha - \alpha_{L=0})$$

$$a = \frac{a_0}{1 + \frac{a_0}{\pi AR}(1 + \tau)}$$

$$C_{D,i} = \frac{C_L^2}{\pi AR}(1 + \delta)$$

# 10.4 普朗特经典升力线理论

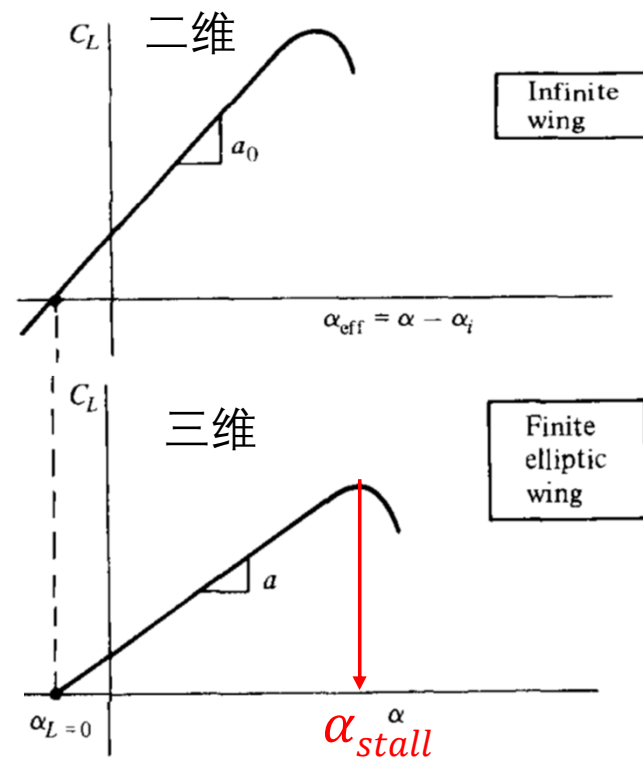
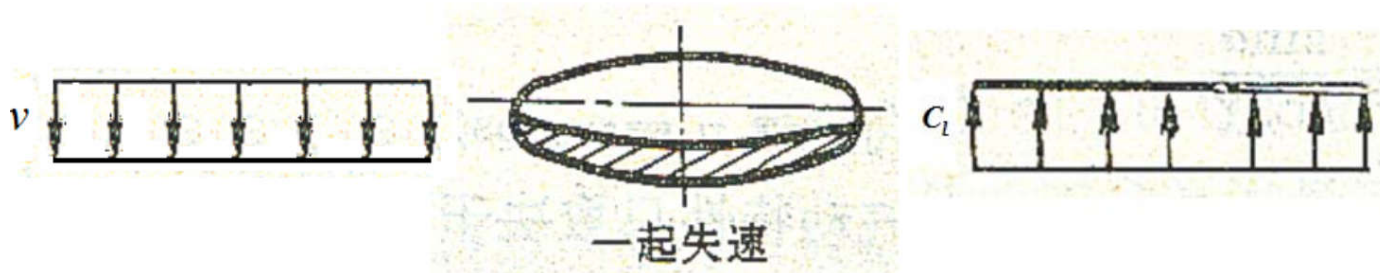
## 8. 平直机翼失速特性：

机翼： $\alpha_{eff} = \alpha - \alpha_i$

$\alpha_{stall机翼} > \alpha_{stall翼型} \quad \alpha_i \uparrow \rightarrow \alpha_{stall} \uparrow$

$\alpha_i(w)$  越小越先失速。

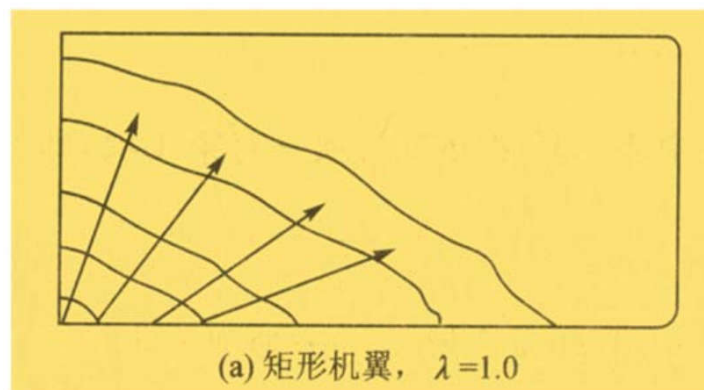
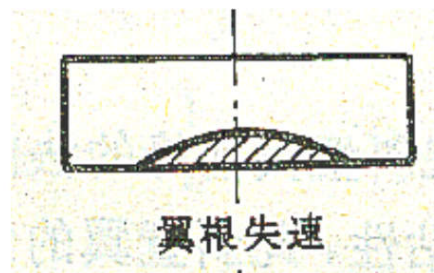
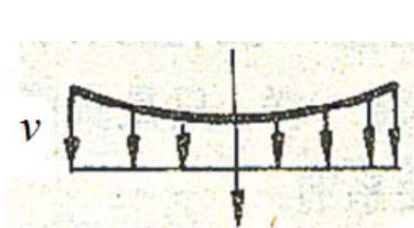
**椭圆形的机翼：**诱导下洗速度沿翼展是不变的，因而沿展向各翼剖面的有效迎角也不变。所以，随着 $\alpha$ 的增大，整个展向各翼剖面同时出现分离，同时达到翼型的最大升力系数，同时发生失速，失速特性良好。



## 10.4 普朗特经典升力线理论

8. 平直机翼失速特性：机翼： $\alpha_{eff} = \alpha - \alpha_i$

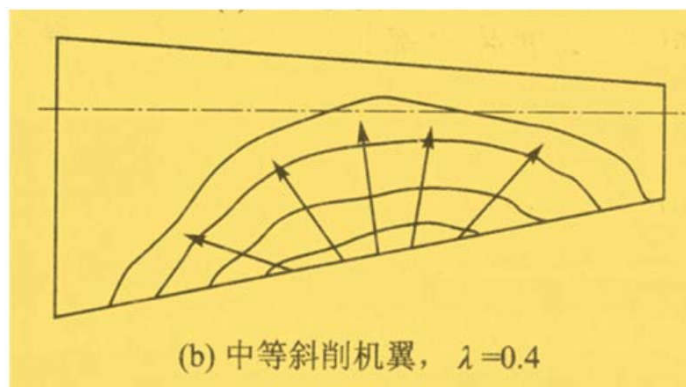
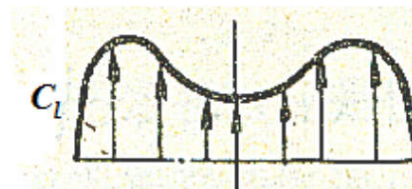
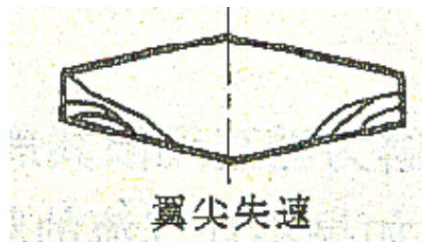
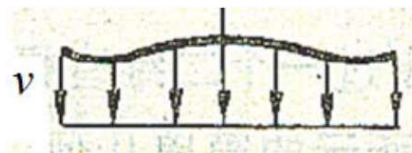
**矩形机翼：**诱导下洗速度从翼根向翼尖增大，翼根翼剖面的有效迎角将比翼尖大，翼根剖面升力系数也比翼尖大。因此，分离首先发生在翼根部分，然后分离区逐渐向翼尖扩展，失速是渐进的。



## 10.4 普朗特经典升力线理论

8. 平直机翼失速特性：机翼： $\alpha_{eff} = \alpha - \alpha_i$

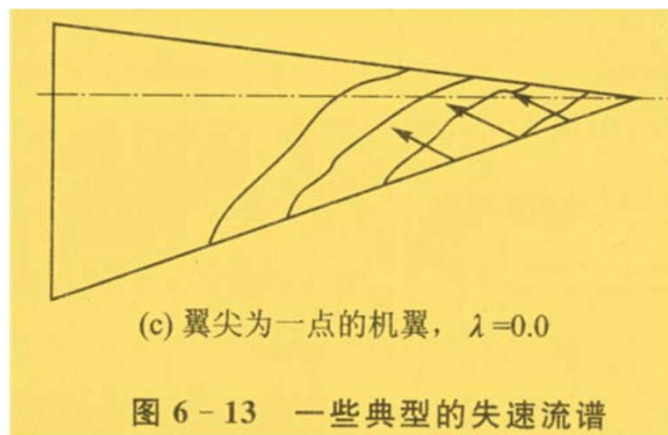
**梯形直机翼：**翼根下洗速度最大，最小下洗速度位于翼尖附近，随着跟梢比的增大，最小下洗速度位置越接近翼尖。所以分离首先发生在翼尖附近，不仅使机翼的最大升力系数下降，而且使副翼等操纵面效率大为降低。



## 10.4 普朗特经典升力线理论

8. 平直机翼失速特性：机翼： $\alpha_{eff} = \alpha - \alpha_i$

**三角翼：**翼尖部分有效迎角比翼根附近大很多，翼尖附近有很强的失速趋势，所以在设计三角机翼时要采取措施增大翼尖附近的失速迎角，以避免翼尖失速和副翼失效。



## 10.4普朗特经典升力线理论

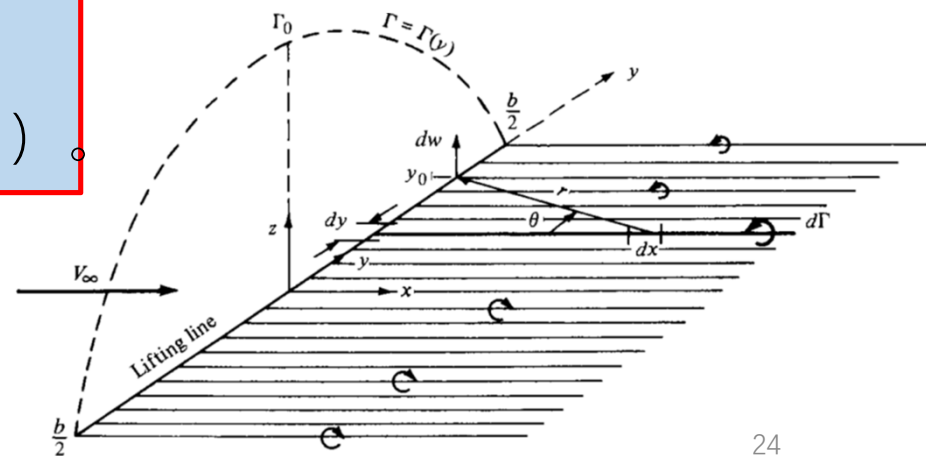
### 9. 升力线理论适用范围：

升力线理论贡献：机翼平面参数对气动特性影响！

机翼平面形状+剖面气动数据→ $\Gamma(y)$ ,  $\alpha_i$ ,  $C_L$ ,  $C_{D,i}$ 等气动特性

升力线理论适用范围：

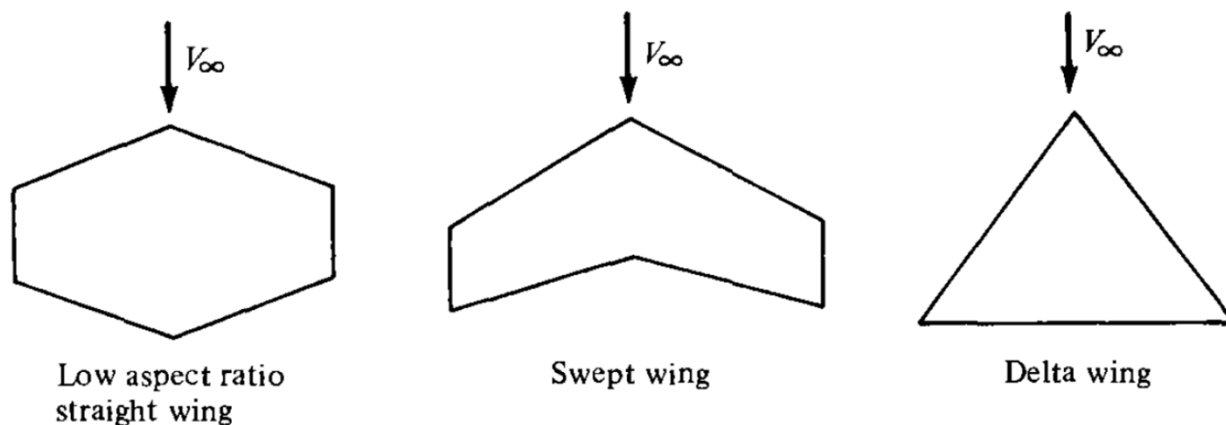
- (1) 小迎角 ( $\alpha < 10^\circ$ ), 无流动分离；
- (2) 大展弦比 ( $AR \geq 5$ ) ；
- (3) 平直机翼，后掠角不能太大 ( $\chi \leq 20^\circ$ ) 。





# 10.5升力面理论、涡格法

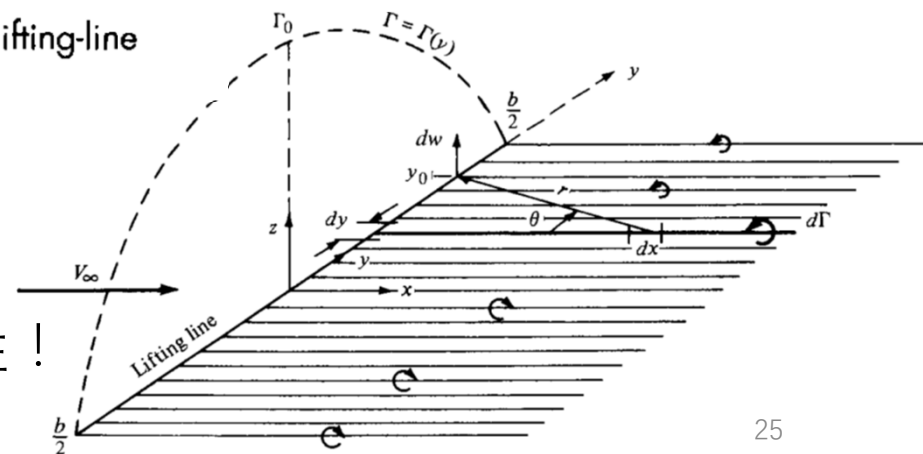
## 1. 升力面理论：



**Figure 5.30**

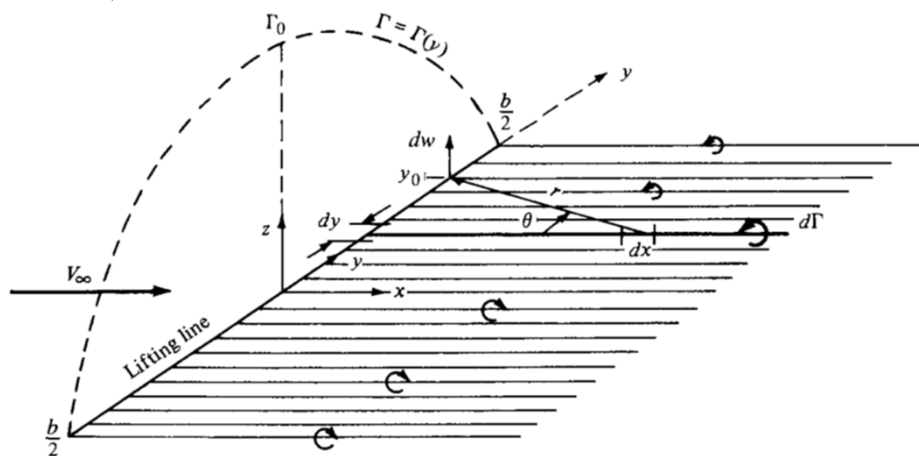
Types of wing planforms for which classical lifting-line theory is not appropriate.

升力线不能模拟机翼气动特性！



# 10.5 升力面理论、涡格法

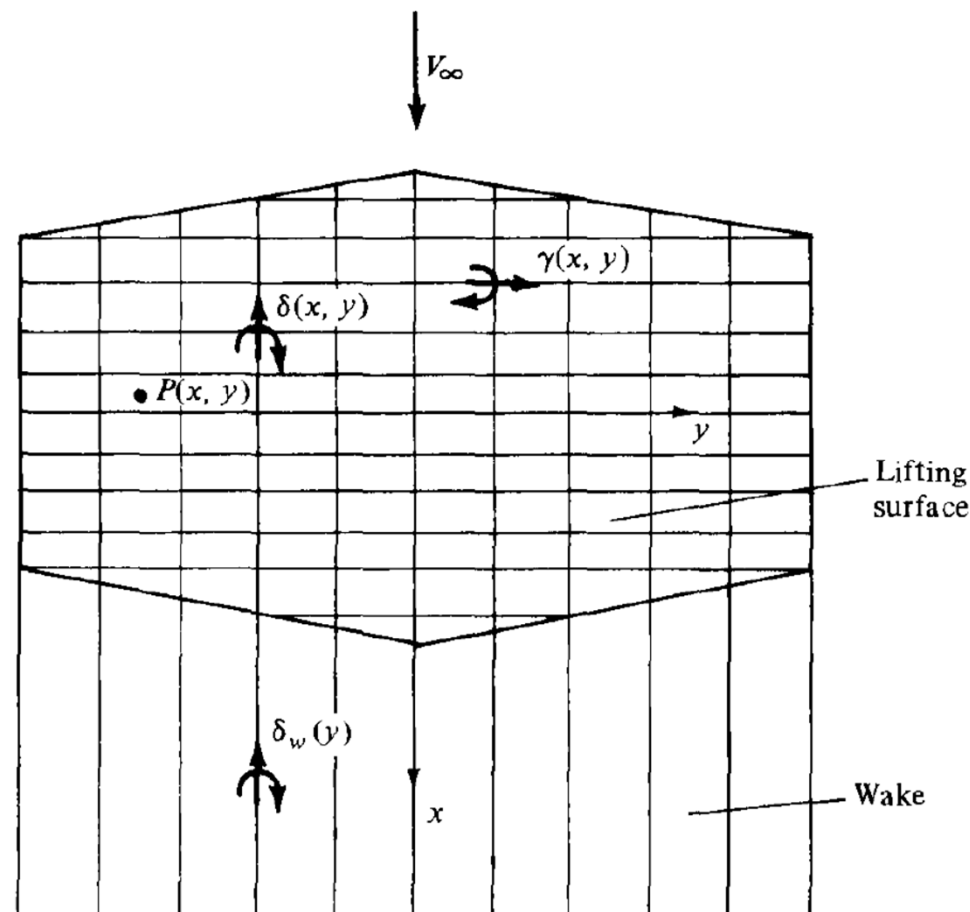
## 1. 升力面理论：



升力线模型

对小展弦比、后掠、三角形机翼，  
用布置在整个翼面上的附着涡面+尾涡面  
模拟机翼扰流→升力面理论！

展向附着涡强度  $\gamma(x, y)$   
弦向涡强度  $\delta(x, y)$   
尾涡强度  $\delta_w(y)$

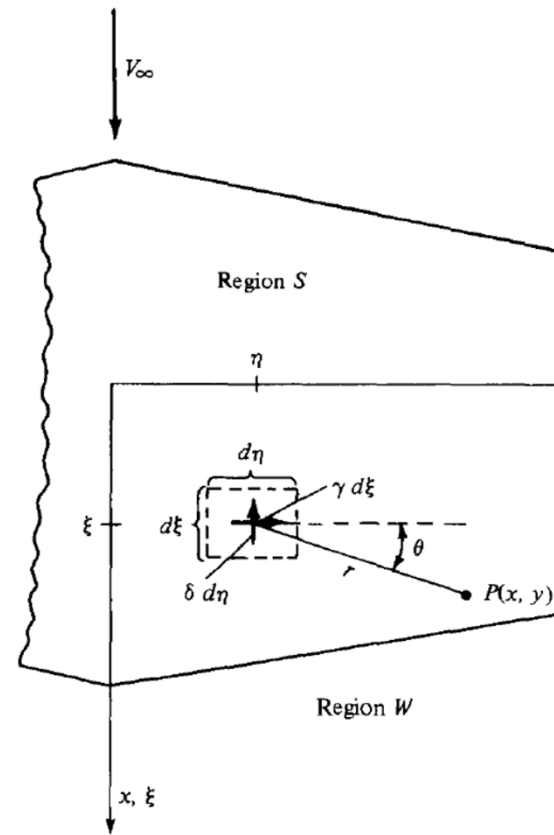
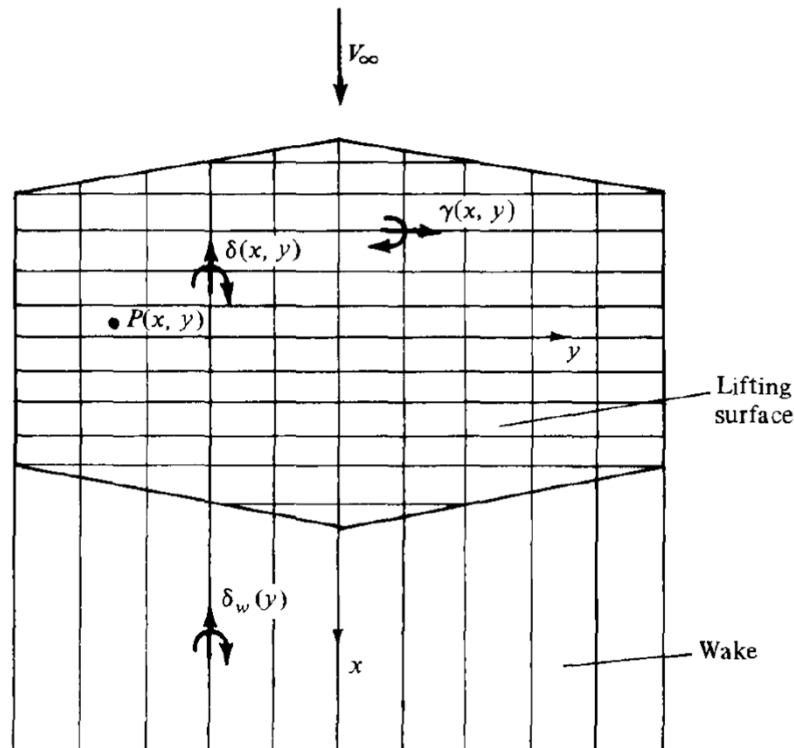


升力面模型

# 10.5 升力面理论、涡格法

## 1. 升力面理论：

机翼表面为流面，  $w(x, y) = V_{\infty, n}(x, y) + w'(x, y) = 0$



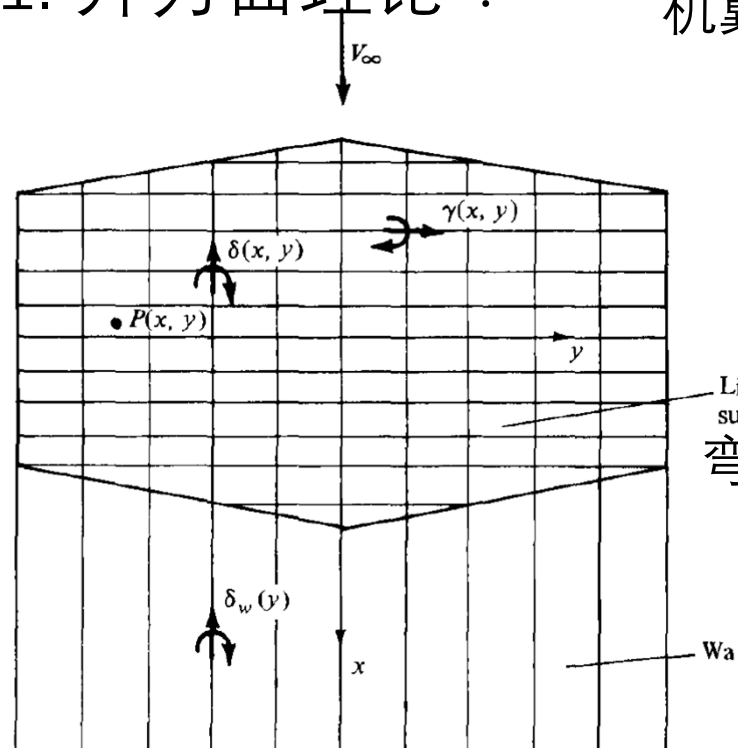
$$(dw)_{\gamma} = -\frac{\gamma}{4\pi} \frac{(x - \xi)d\xi d\eta}{r^3}$$

$$(dw)_{\delta} = -\frac{\delta}{4\pi} \frac{(y - \eta)d\xi d\eta}{r^3}$$

$$r = \sqrt{(x - \xi)^2 + (y - \eta)^2}$$

# 10.5升力面理论、涡格法

## 1. 升力面理论：



机翼表面为流面，  $w(x, y) = V_{\infty, n}(x, y) + w'(x, y) = 0$

$$w'(x, y) = -\frac{1}{4\pi} \iint_S \frac{(x - \xi)\gamma(\xi, \eta) + (y - \eta)\delta(\xi, \eta)}{[(x - \xi)^2 + (y - \eta)^2]^{3/2}} d\xi d\eta$$

$$-\frac{1}{4\pi} \iint_W \frac{(y - \eta)\delta_w(\xi, \eta)}{[(x - \xi)^2 + (y - \eta)^2]^{3/2}} d\xi d\eta$$

弯度、厚度小，小迎角下： $V_{\infty, n}(x, y) = V_{\infty} \frac{\partial z}{\partial x}$

$$V_{\infty} \frac{\partial z}{\partial x} - \frac{1}{4\pi} \iint_S \frac{(x - \xi)\gamma(\xi, \eta) + (y - \eta)\delta(\xi, \eta)}{[(x - \xi)^2 + (y - \eta)^2]^{3/2}} d\xi d\eta$$

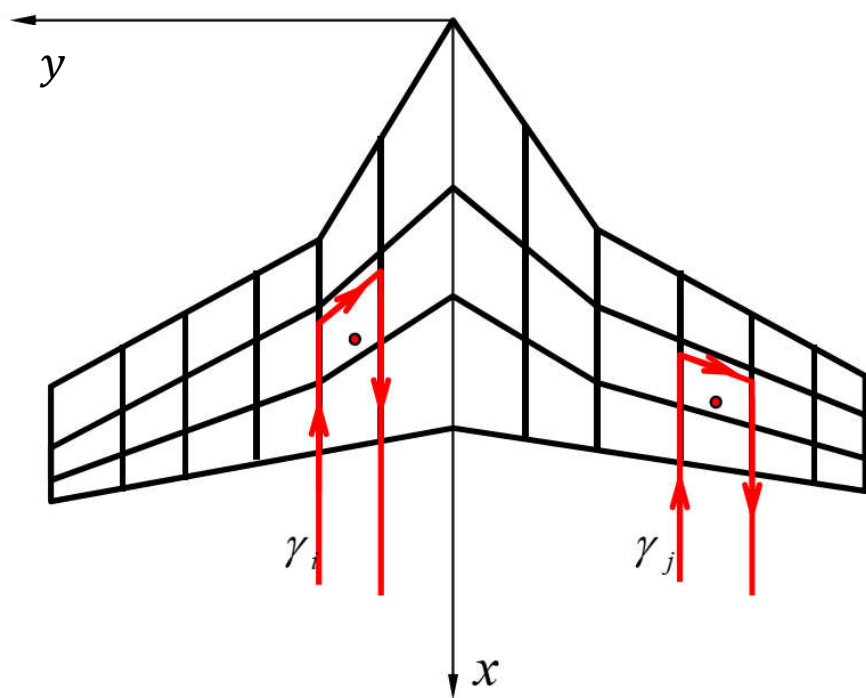
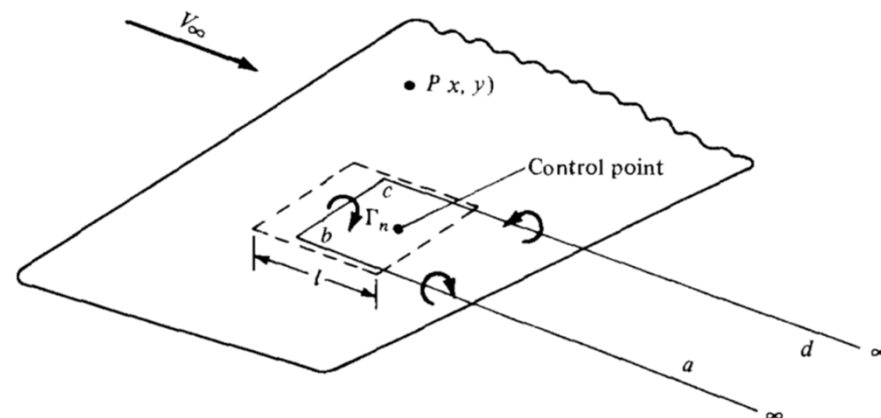
$$-\frac{1}{4\pi} \iint_W \frac{(y - \eta)\delta_w(\xi, \eta)}{[(x - \xi)^2 + (y - \eta)^2]^{3/2}} d\xi d\eta = 0$$

升力面基本方程！

# 10.5升力面理论、涡格法

## 2. 涡格法：

弦长 $l$ 的区间内布置强度为 $\Gamma_n$ 的马蹄涡 $abcd$ ，  
附着涡位于 $l/4$ ，控制点位于 $3l/4$ 处。



机翼在 $xoy$ 投影面沿展向分成若干列，  
沿等百分比弦线分成若干行；  
每个网格布置强度恒定的马蹄涡——涡格！

每个涡格控制点上法向速度 $w = 0$ ！

# 10.5升力面理论、涡格法

## 2. 涡格法：附着涡位于 $l/4$ ，控制点位于 $3l/4$ 处??

对平板翼型，若 $c/4$ 处放置 $\Gamma$ ，  
则 $3c/4$ 处满足无穿透边界条件 ( $w = 0$ ) !

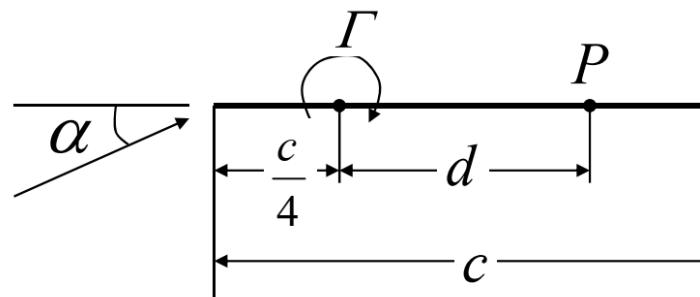
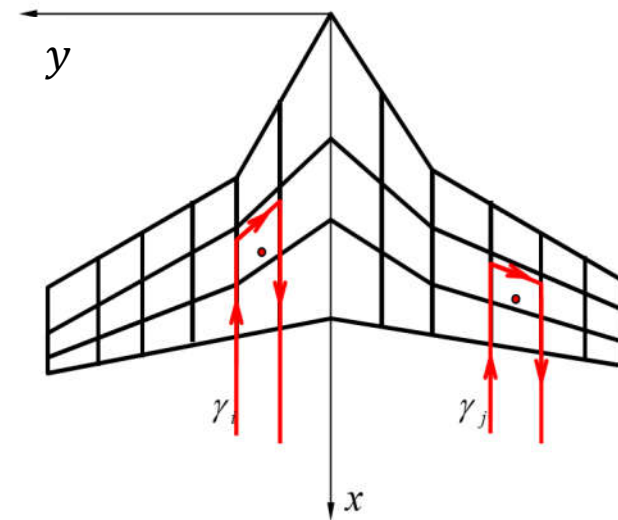
$$c/4 \text{ 处} : \Gamma = \pi c V_{\infty} \alpha \quad (\rho V_{\infty} \Gamma = 2\pi a 0.5 \rho V_{\infty}^2 c)$$

$$\text{距离 } d \text{ 处} : w' = \frac{\Gamma}{2\pi d} = \frac{c V_{\infty} \alpha}{2d}$$

$$w = V_{\infty} \sin \alpha - w'$$

$$\approx V_{\infty} \alpha - \frac{c V_{\infty} \alpha}{2d}$$

$$w = 0 \quad \longrightarrow \quad d = c/2$$



# 10.5升力面理论、涡格法

## 2. 涡格法：

步骤：

- (1) 划分面元，布马蹄涡，选控制点（左右各N个）；
- (2) 求j个面元上马蹄涡对i个控制点诱导速度；

$$w'_{i,j} = C_{i,j} \Gamma_j$$

$C_{i,j}$ 为影响系数，取决于i, j点的几何位置。

- (3) 求2N个面元对i个控制点总诱导速度：

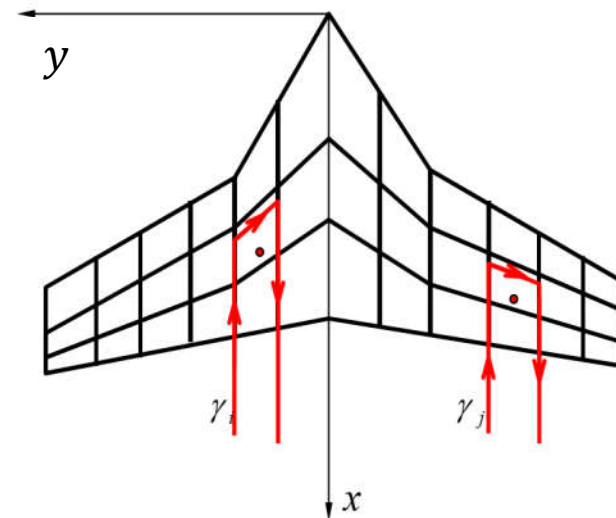
$$w'_i = \sum_{j=1}^{2N} C_{i,j} \Gamma_j$$

- (4) 控制点法向速度 $w = 0$ ，建N个方程 $w_i = V_{ni} + w'_i = 0$ ;

薄翼小迎角下 $V_{ni} = V_{\infty} \left( \alpha - \frac{dz}{dx} \right)_i$ ;

- (5) 求解方程组得 $\Gamma_j$ ；

- (6) 求机翼气动性能。



作业：

复习笔记！

空气动力学书5.1，5.3，5.4，5.5